

Алгоритмы вычисления разложения Таккера и тензорного поезда

Команда “Matrix Masters”

Подготовили:

- 1) Середа Константин
- 2) Николаев Олег
- 3) Гавриш Борис
- 4) Матевосова Анастасия

Москва, 2023

Постановка задачи

Для хранения трехмерного тензора требуется N^3 ячеек памяти, что довольно много. Однако иногда в практических задачах данные обладают структурой, позволяющей записать их малопараметрическое представление, требующее меньше ячеек в памяти компьютера. Как известно, базовыми тензорными разложениями являются: каноническое, разложение Таккера и тензорный поезд.

Но как “наиболее оптимально” вычислять данные разложения?

Задача: изучить различные вариации разложения Таккера и тензорного поезда на тензорах специального вида.

Гипотеза: алгоритмы с модифицированным подсчетом SVD-разложения работают быстрее и дают примерно то же качество, что и стандартные библиотечные разложения.

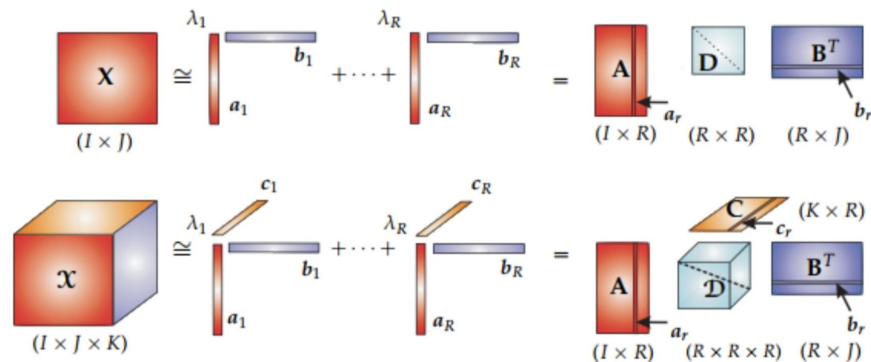
Оценка качества: измерение времени работы и Фробениусовой нормы приращения.

Каноническое разложение (CP)

$$A(i, j, k) = \sum_{\alpha=1}^R u_{\alpha}(i) v_{\alpha}(j) w_{\alpha}(k) = \sum_{\alpha=1}^R u(\alpha, i) v(\alpha, j) w(\alpha, k)$$

- Хорошее сжатие данных: из N^3 в $3NR$;
- Основной недостаток CP-формата: трудность вычисления точного значения канонического ранга R , которое часто сводится к решению NP-трудной задачи;
- Поэтому на практике обычно получают приближенное каноническое разложение с помощью **итерационного метода переменных наименьших квадратов**, фиксируя целевое значение ранга R .

Про алгоритм переменных наименьших квадратов нет доказанных теорем, гарантирующих его сходимость в общем случае, поэтому могут возникать проблемы со скоростью сходимости и обоснованием результатов.



Algorithm : СХЕМА ПРОЦЕДУРЫ ПЕРЕМЕННЫХ НАИМЕНЬШИХ КВАДРАТОВ(A, R)

$U(\alpha, i), V(\alpha, j), W(\alpha, k) \leftarrow$ инициализация случайными значениями
repeat

1. Зафиксируем значения $V(\alpha, j), W(\alpha, k)$,

$U(\alpha, i) \leftarrow$ решим задачу линейных наименьших квадратов $\| \sum_{\alpha=1}^R u(\alpha, i) v(\alpha, j) w(\alpha, k) - A \|_F$.

2. Зафиксируем значения $U(\alpha, i), W(\alpha, k)$,

$V(\alpha, j) \leftarrow$ решим задачу линейных наименьших квадратов $\| \sum_{\alpha=1}^R u(\alpha, i) v(\alpha, j) w(\alpha, k) - A \|_F$.

3. Зафиксируем значения $U(\alpha, i), V(\alpha, j)$,

$W(\alpha, k) \leftarrow$ решим задачу линейных наименьших квадратов $\| \sum_{\alpha=1}^R u(\alpha, i) v(\alpha, j) w(\alpha, k) - A \|_F$.

until stopping criteria

Разложение Таккера (HOSVD)

$$T(i, j, k) = \sum_{\alpha_1=1}^{r_1} \sum_{\alpha_2=1}^{r_2} \sum_{\alpha_3=1}^{r_3} G(\alpha_1, \alpha_2, \alpha_3) U(\alpha_1, i) V(\alpha_2, j) W(\alpha_3, k)$$

r_1, r_2, r_3 — ранги Таккера;

$G(\alpha_1, \alpha_2, \alpha_3)$ — ядро Таккера;

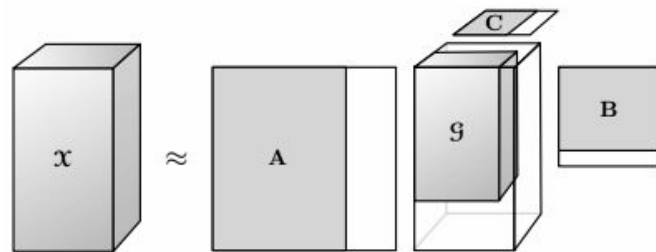
$U(\alpha_1, i), V(\alpha_2, j), W(\alpha_3, k)$ — факторы разложения.

Пусть дан тензор $A \in \mathbb{C}^{N_1 \times N_2 \times N_3}$

Алгоритм HOSVD:

- Определим матрицы разверток
 $A_{i,jk} \in \mathbb{C}^{N_1 \times N_2 N_3}, A_{j,ik} \in \mathbb{C}^{N_2 \times N_1 N_3}, A_{k,ij} \in \mathbb{C}^{N_3 \times N_1 N_2}$
- $A_{i,jk} = U_1 \Sigma_1 V_1^*, A_{j,ik} = U_2 \Sigma_2 V_2^*, A_{k,ij} = U_3 \Sigma_3 V_3^*$
- $G = U_1^* U_2^* U_3^* A$

$i \in 0, \dots, N_1 - 1; j \in 0, \dots, N_2 - 1; k \in 0, \dots, N_3 - 1.$



Последовательное многомерное SVD (st-HOSVD)

Пусть дан тензор $A \in \mathbb{C}^{N_1 \times N_2 \times N_3}$

Алгоритм st-HOSVD:

- reshape: $A \rightarrow A_{i,jk}$
- $A_{i,jk} = U_1 \Sigma_1 V_1^*$; $U = U_1, A_{\alpha_1,jk} = \Sigma_1 V_1^*$
- reshape: $A_{\alpha_1,jk} \rightarrow A_{\alpha_1j,k}$
- $A_{\alpha_1j,k} = U_2 \Sigma_2 V_2^*$; $W = V_2, A_{\alpha_1j,\alpha_3} = U_2 \Sigma_2$
- reshape: $A_{\alpha_1j,\alpha_3} \rightarrow A_{j,\alpha_1\alpha_3}$
- $A_{j,\alpha_1\alpha_3} = U_3 \Sigma_3 V_3^*$; $V = U_3, A_{\alpha_2,\alpha_1\alpha_3} = \Sigma_3 V_3$
- reshape: $A_{\alpha_2,\alpha_1\alpha_3} \rightarrow G_{\alpha_1,\alpha_2,\alpha_3}$



Алгоритм randomized SVD:

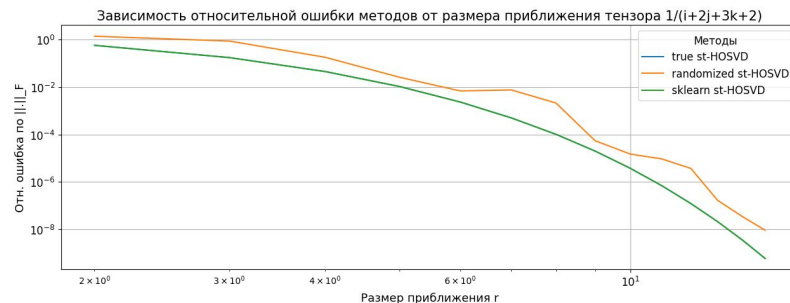
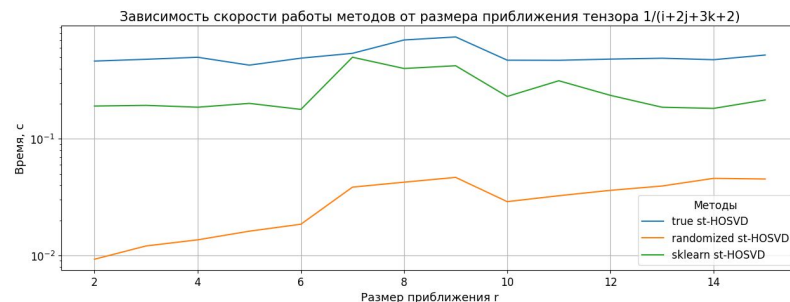
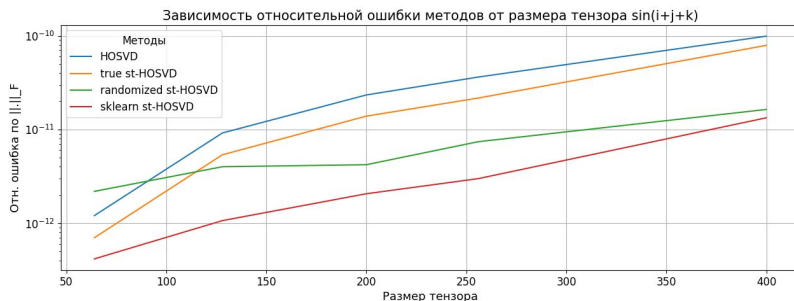
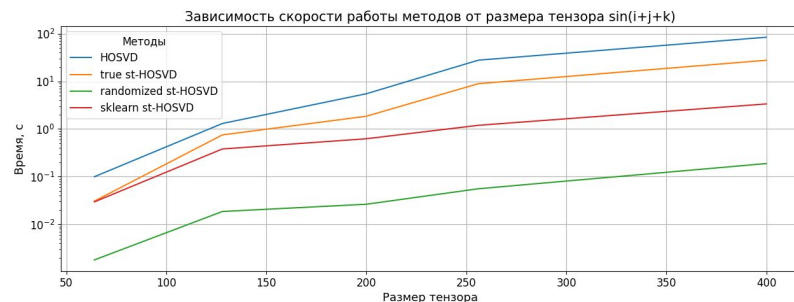
- Сгенерировать случайную матрицу $\Omega \in \mathbb{C}^{N \times r}$, где $\Omega_{i,j} \sim N(0, 1)$
- Вычислить $B = A\Omega \rightarrow O(MNr)$
- Сделать QR-разложение: $B = QR \rightarrow O(Mr^2)$
- Вычислить SVD от $Q^*A = U\Sigma V^* \rightarrow O(MNr + Nr^2)$
- $\tilde{A}_r = Q(Q^*A) = (QU)\Sigma V^* = \tilde{U}\Sigma V^* \rightarrow O(MNr)$

Пусть дан тензор $A \in \mathbb{C}^{N_1 \times N_2 \times N_3}$

Алгоритм randomized st-HOSVD:

- reshape: $A \rightarrow A_{i,jk}$
- $U_1, \Sigma_1, V_1 = \text{randSVD}(A_{i,jk})$; $U = U_1, A_{\alpha_1,jk} = \Sigma_1 V_1^*$
- reshape: $A_{\alpha_1,jk} \rightarrow A_{\alpha_1j,k}$
- $U_2, \Sigma_2, V_2 = \text{randSVD}(A_{\alpha_1j,k})$; $W = V_2, A_{\alpha_1j,\alpha_3} = U_2 \Sigma_2$
- reshape: $A_{\alpha_1j,\alpha_3} \rightarrow A_{j,\alpha_1\alpha_3}$
- $U_3, \Sigma_3, V_3 = \text{randSVD}(A_{j,\alpha_1\alpha_3})$; $V = U_3, A_{\alpha_2,\alpha_1\alpha_3} = \Sigma_3 V_3$
- reshape: $A_{\alpha_2,\alpha_1\alpha_3} \rightarrow G_{\alpha_1,\alpha_2,\alpha_3}$

Эксперименты с разложениями в формате Таккера

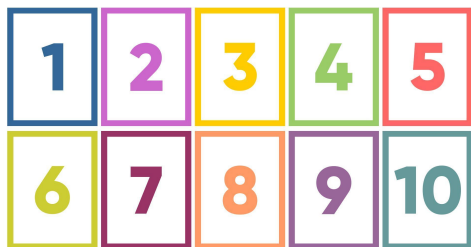


Вывод: во всех экспериментах по времени лидирует st-HOSVD с randSVD, а по ошибке в первом случае соответствующий алгоритм из sklearn, а во втором - он же вместе с true st-HOSVD.

Приложения разложения Таккера

Сжатие изображений

Исходное изображение



Rank_tucker=25



Rank_tucker=15



Rank_tucker=10



Rank_tucker=5



а также

- Рекомендательные сервисы
- Графы с временной структурой
- Анализ биомедицинских данных и др.

Тензорный поезд (ТТ)

$$K(i_1, \dots, i_d) \approx \sum_{\alpha_0=1}^1 \sum_{\alpha_1=1}^{r_1} \dots \sum_{\alpha_d=1}^1 G_1(\alpha_0, i_1, \alpha_1) G_2(\alpha_1, i_2, \alpha_2) \dots \\ \dots G_d(\alpha_{d-1}, i_d, \alpha_d)$$

Ключевые особенности:

- не игнорирует аналитическую связь между компонентами тензора и их индексами
- в среднем, хорошая сходимость, устойчивость
- $O(rnd)$ по памяти (где r — это средний ранг ядер, d — размерности пространства)
- в большинстве случаев дает наименьший возможный ТТ-rank
- развитая тензорная алгебра (умножение, сложение)

Сложности:

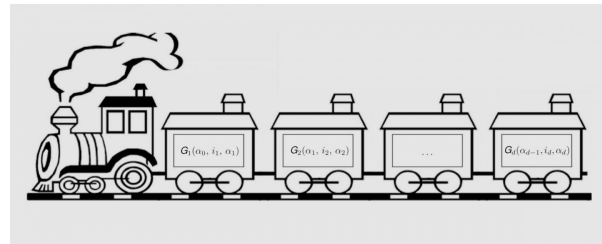
- представление не единственно
- алгоритм может привести к разным рангам результирующего тензора
- быстрый рост рангов ядер в случае, если размер множества образов, которым обладают производящие функции, слишком велик

Область применения:

Решение многомерных параболических уравнений в частных производных

Лучше всего работает (по сравнению с другими методами):

- разреженные матрицы
- матрицы, которые имеют небольшое количество возможных значений



Require: d -dimensional tensor \mathbf{A} , prescribed accuracy ε .

Ensure: Cores G_1, \dots, G_d of the TT-approximation \mathbf{B} to \mathbf{A} in the TT-format with TT-ranks \hat{r}_k equal to the δ -ranks of the unfoldings A_k of \mathbf{A} , where $\delta = \frac{\varepsilon}{\sqrt{d-1}} \|\mathbf{A}\|_F$. The computed approximation satisfies

$$\|\mathbf{A} - \mathbf{B}\|_F \leq \varepsilon \|\mathbf{A}\|_F.$$

- {Initialization}
Compute truncation parameter $\delta = \frac{\varepsilon}{\sqrt{d-1}} \|\mathbf{A}\|_F$.
- Temporary tensor: $\mathbf{C} = \mathbf{A}$, $r_0 = 1$.
- for** $k = 1$ to $d - 1$ **do**
- $C := \text{reshape}(C, [r_{k-1} n_k, \frac{\text{numel}(C)}{r_{k-1} n_k}])$.
- Compute δ -truncated SVD: $C = USV + E$, $\|E\|_F \leq \delta$, $r_k = \text{rank}_\delta(C)$.
- New core: $G_k := \text{reshape}(U, [r_{k-1}, n_k, r_k])$.
- $C := SV^\top$.
- end for**
- $G_d = C$.
- Return tensor \mathbf{B} in TT-format with cores G_1, \dots, G_d .

**Tensor-Train Decomposition, 2011, I. V. Oseledets*

Тензорный поезд: алгоритм разложения

Algorithm 1 TT-SVD

Input: $X \in \mathbf{R}^{n_1 \times \dots \times n_d}$, max. TT-rank $r_{\max} \geq 1$, tolerance ϵ

Output: TT decomposition $\sum_{j_1, \dots, j_{d-1}} T_{1, i_1, j_1}^{(1)} T_{j_1, i_2, j_2}^{(2)} \dots T_{j_{d-1}, i_d, 1}^{(d)} = \tilde{X}_{i_1, \dots, i_d}$ with $\|X - \tilde{X}\|_F \leq \epsilon \|X\|_F$ if $r_{\max} \geq r_{\delta}^{(i)}$

- 1: $\delta \leftarrow \frac{\epsilon}{\sqrt{d-1}} \|X\|_F$ (truncation parameter)
- 2: $W \leftarrow X$ (temporary tensor)
- 3: $\bar{n} \leftarrow \prod_{i=1}^d n_i$ (total size of W)
- 4: $r_d \leftarrow 1$
- 5: **for** $i = d, \dots, 2$ **do**
- 6: $W \leftarrow \text{reshape}(W, (\frac{\bar{n}}{n_i r_i} \quad n_i r_i))$
- 7: Calculate SVD: $U \Sigma V^T = W$ with $\Sigma = \text{diag}(\sigma_1, \dots, \sigma_{n_i r_i})$
- 8: Choose rank $r_{i-1} = \min(r_{\max}, r_{\delta}^{(i)})$, $r_{\delta}^{(i)} = \min(j : \sigma_{j+1}^2 + \sigma_{j+2}^2 + \dots \leq \delta^2)$
- 9: $T^{(i)} \leftarrow \text{reshape}((V_{:,1:r_{i-1}})^T, (r_{i-1} \quad n_i \quad r_i))$
- 10: $\bar{n} \leftarrow \frac{\bar{n} r_{i-1}}{n_i r_i}$ (new total size of W)
- 11: $W \leftarrow U_{:,1:r_{i-1}} \text{diag}(\sigma_1, \dots, \sigma_{r_{i-1}})$
- 12: **end for**
- 13: $T^{(1)} \leftarrow \text{reshape}(W, (1 \quad n_1 \quad r_1))$

Модификация: Optimized TSQR TT-SVD

Calculate R from the QR decomposition: $QR = W^{(i)}$

Calculate small SVD: $\tilde{U} \Sigma V^T = R$ with $\Sigma = \text{diag}(\sigma_1, \dots, \sigma_{n_i r_i})$

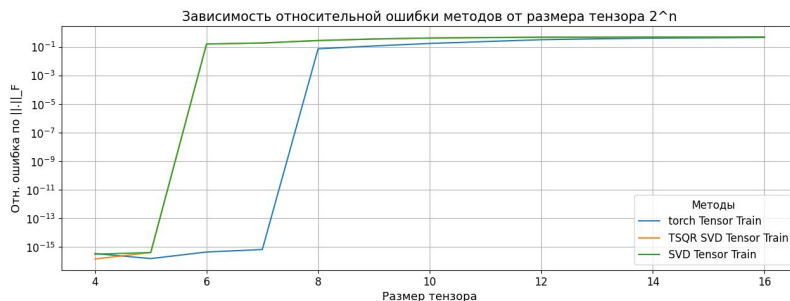
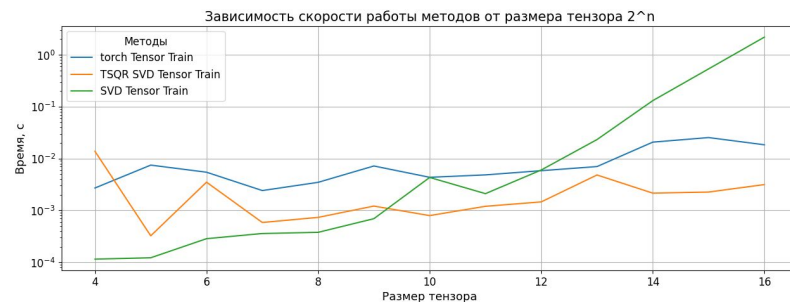
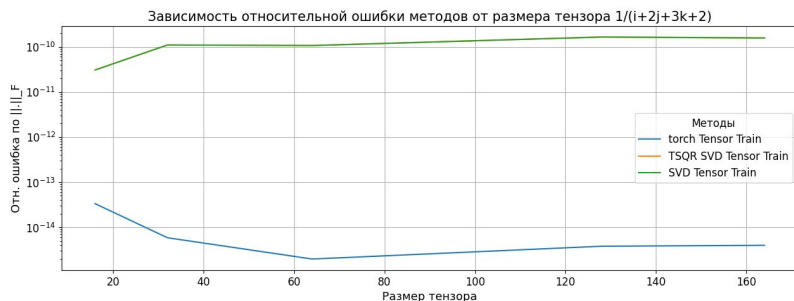
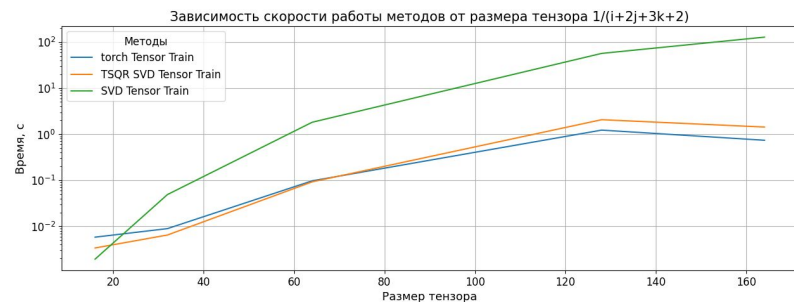
$$W^{(i-1)} \leftarrow \text{reshape}\left(W^{(i)} V_{:,1:r_{i-1}}, \left(\frac{\bar{n}}{n_{i-1} r_{i-1}} \quad n_{i-1} r_{i-1}\right)\right)$$

Доказано, что данный алгоритм позволяет
получить квази-оптимальное разложение

COROLLARY 2.4. Given a tensor \mathbf{A} and rank bounds r_k , the best approximation to \mathbf{A} in the Frobenius norm with TT-ranks bounded by r_k always exists (denote it by \mathbf{A}^{best}), and the TT-approximation \mathbf{B} computed by the TT-SVD algorithm is quasi-optimal:

$$\|\mathbf{A} - \mathbf{B}\|_F \leq \sqrt{d-1} \|\mathbf{A} - \mathbf{A}^{\text{best}}\|_F.$$

Эксперименты с реализациями ТТ



Вывод: модификация алгоритма дает значительное увеличение скорости вычислений; точность реализованных методов ниже, чем у библиотечного; наблюдается различие в результатах в зависимости от типа матрицы.

Приложение ТТ в кооперативной Теории игр

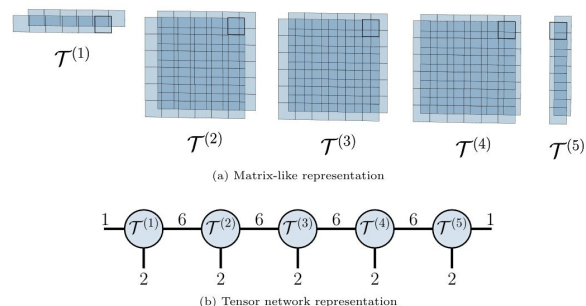
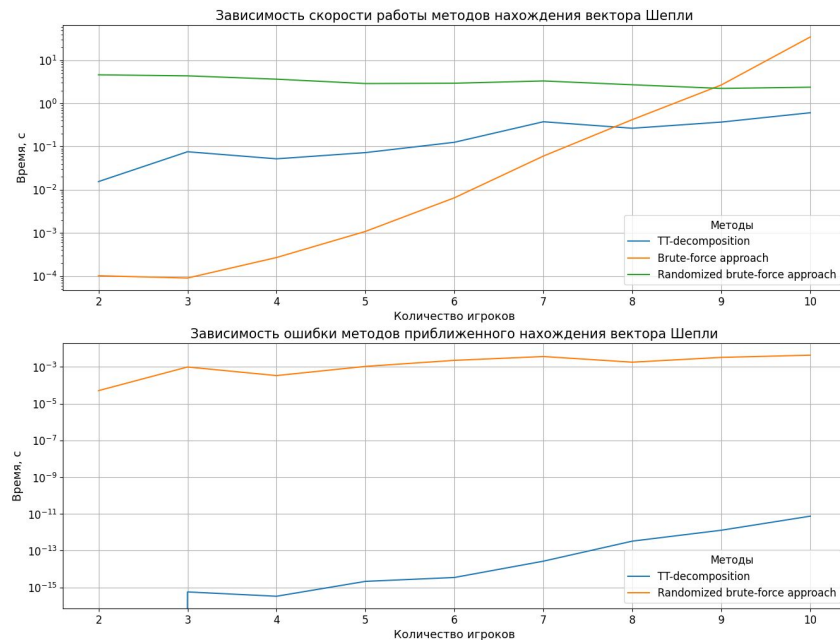


Fig. 1. A TT cooperative game with $|N| = 5$ players encodes the utility function v in five TT cores, each of which consists of two matrices. The value for every possible coalition $S \subseteq N$ is represented by the $2^{|N|} = 32$ possible matrix product sequences. In this example, the TT ranks are all equal to 6. In (b) we show each core as a node in a graph (a so-called tensor network).

Специфика задачи:

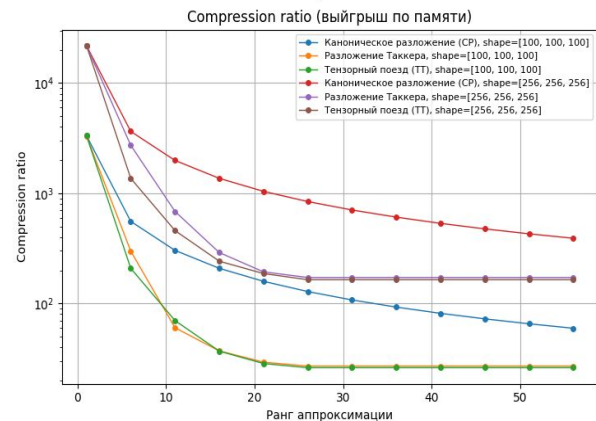
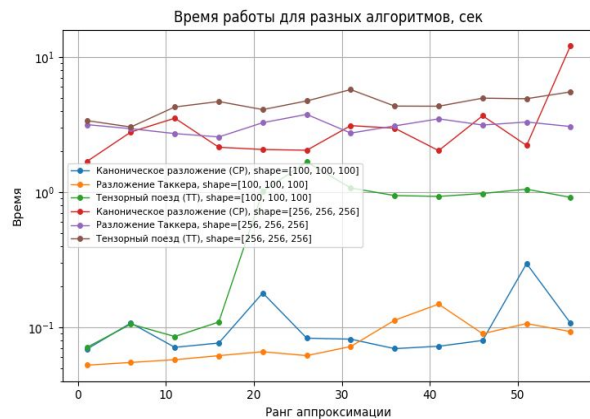
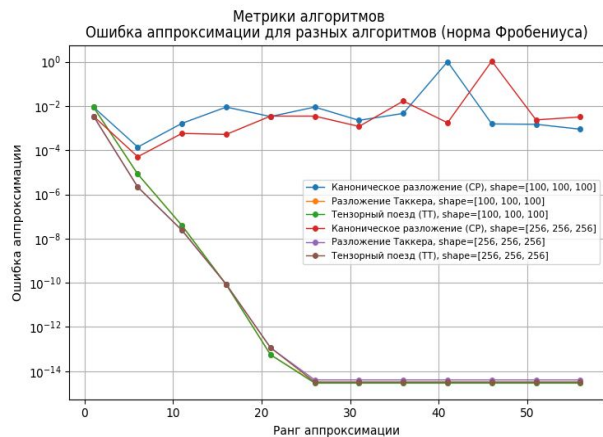
Тензор особого вида: по каждому измерению только два индекса. Имеет важные практические приложения, так как кооперативные игры могут использоваться для распределения платы при совместном использовании ресурсов.



Вывод: метод позволяет с высокой точностью аппроксимировать истинное значение и при этом выполнять вычисления для большего числа игроков.

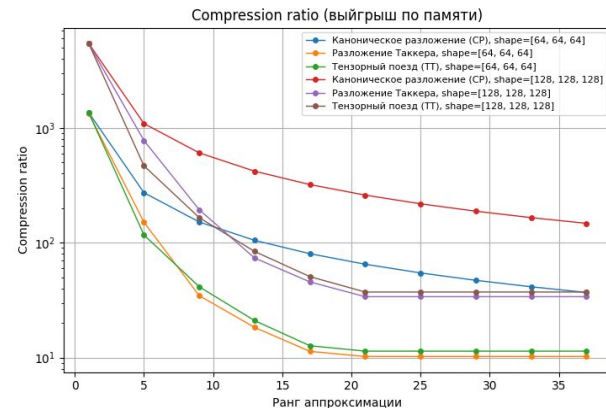
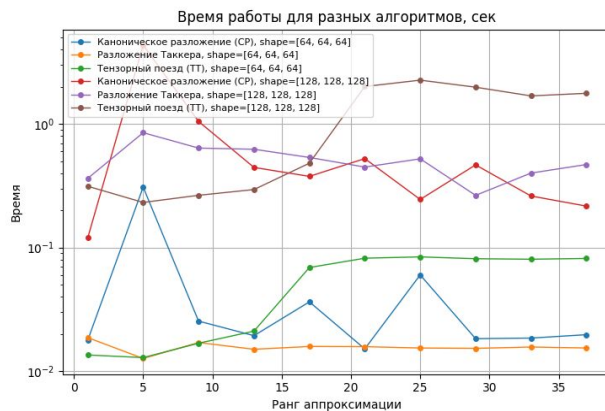
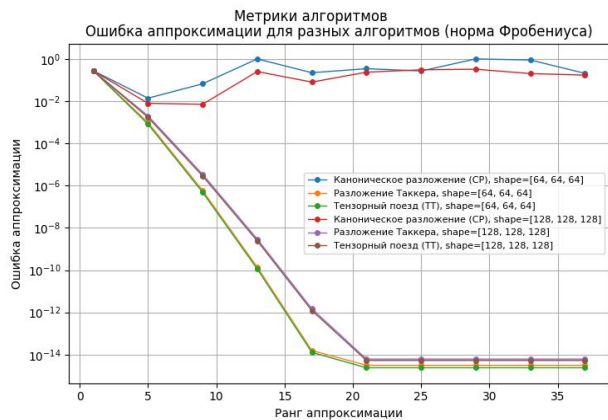
Сравнение скоростей работы, потребления памяти, точности аппроксимации в зависимости от ранга

Аналитическая связь №1: $\sqrt{\sqrt{X} \cdot (Y + Z) + Y \cdot Z^2} \cdot (X + \sin(Y) \cdot \cos(Z))$

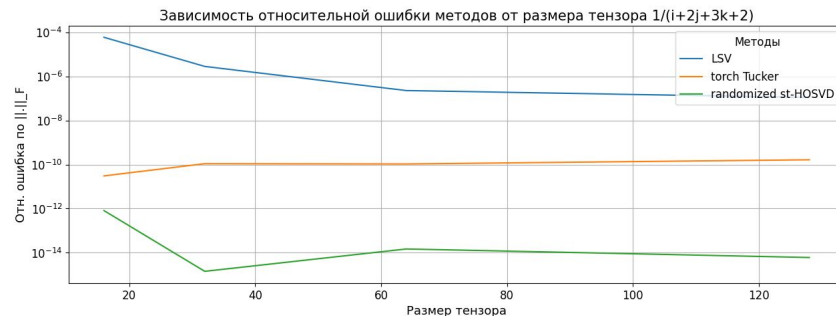
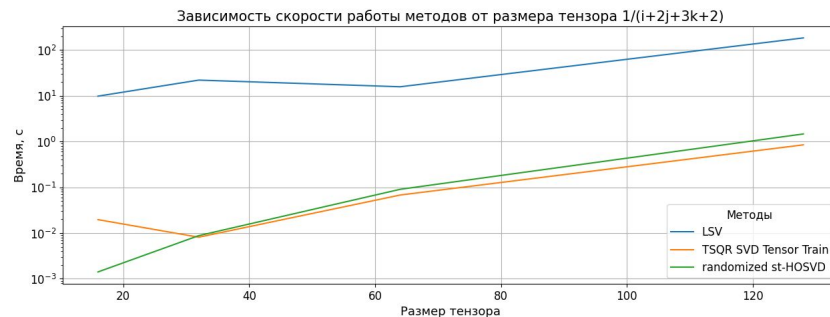
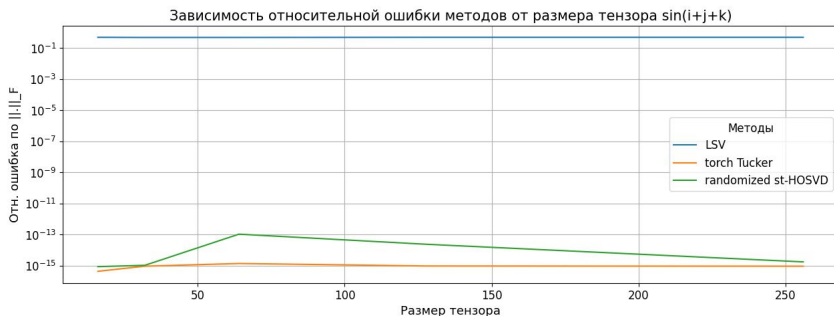
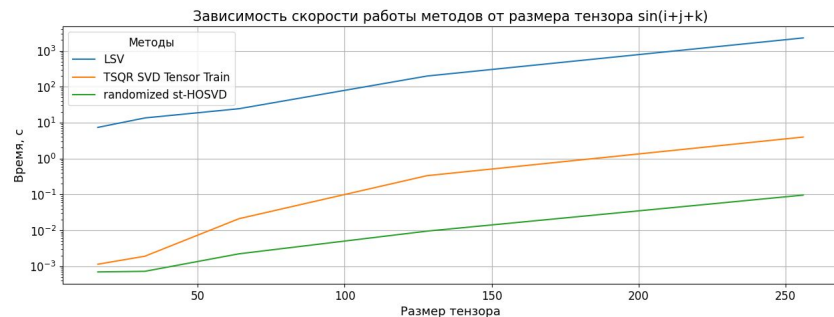


Сравнение скоростей работы, потребления памяти, точности аппроксимации в зависимости от ранга

Аналитическая связь №2: $\frac{1}{X+Y+Z+1}$



Финальный эксперимент



Вывод: приближенное CP имеет сложности со сходимостью на тензорах $\sin(i+j+k)$, а на $1/(i+2j+3k+2)$ наблюдается заметно лучшая аппроксимация. Два других алгоритма везде демонстрируют примерно одинаковую ошибку, причем скорость их работы зависит от ранга тензора: для малоранговых быстрее st-HOSVD с randSVD, для тензоров полного ранга - TSQR SVD TT.

Итоги

Результаты: в ходе работы мы разобрались с алгоритмами вычисления разложения Таккера и тензорного разложения (ТТ), запрограммировали их на Python. Затем провели эксперименты по сравнению различных реализаций как между собой, так и друг с другом на тензорах специального вида и тензорах из приложений.

Выводы: 1. Методы малоранговой аппроксимации Таккера и ТТ демонстрируют хорошее качество и время работы на различных тензорах, а также обеспечивают существенный выигрыш в памяти.

2. Лучше всего себя показали самописные алгоритмы randomized st-HOSVD и TSQR SVD ТТ на тензорах больших и малых рангов.

3. Оба разложения активно применяются в приложениях: Таккер в графах с временной структурой, рекомендательных сервисах, ТТ в теории игр, решении многомерных параболических уравнений в частных производных.

План на будущее: сравнить все полученные алгоритмы на тензорах с другой спецификой.

Рассматриваемая литература и ссылка на GitHub

- Oseledets I. V., Tyrtysnikov E. E. (2009). Breaking the curse of dimensionality, or how to use SVD in many dimensions. SIAM Journal on Scientific Computing, 31(5), 3744-3759.
- Оселедец, И. В. Вычислительные тензорные методы и их применения. докторская диссертация, М.: ИВМ РАН, 2012.
- Oseledets, Ivan. (2011). Tensor-Train Decomposition. SIAM J. Scientific Computing. 33. 2295-2317. 10.1137/090752286.
- Rafael Ballester-Ripoll. Tensor approximation of cooperative games and their semivalues. International Journal of Approximate Reasoning. 142. 2022. 94-108
- Gleb Ryzhakov, Ivan Oseledets. Constructive TT-representation of the tensors given as index interaction functions with applications. arXiv. 2022
- Constructive TT-representation of the tensors given as index interaction functions with applications

Репозиторий GitHub с кодом проекта: [https://github.com/ol3gka/Al Masters NLA projects Matrix Masters](https://github.com/ol3gka/Al_Masters_NLA_projects_Matrix_Masters)

Спасибо за внимание!